

МИНИСТЕРСТВО НАУКИ И ВЫСШЕГО ОБРАЗОВАНИЯ РОССИЙСКОЙ ФЕДЕРАЦИИ
Федеральное государственное автономное образовательное учреждение
высшего образования

**«Национальный исследовательский
Нижегородский государственный университет им. Н.И.
Лобачевского»
(ННГУ)**

Институт информационных технологий, математики и механики

**Кафедра: высокопроизводительных вычислений и системного
программирования**

Направление подготовки: «Прикладная математика и информатика»
Магистерская программа: «Вычислительные методы и
суперкомпьютерные технологии»

ОТЧЕТ

по пятой лабораторной работе

на тему:

«Динамический хаос на примере логистического отображения»

Выполнил: студент
группы 3824М1ПМвм
Ивлев А.Д.

Нижний Новгород
2025

Оглавление

1. Введение и постановка задачи	3
2. Методика проведения и результаты экспериментов	4
3. Заключение	9

1. Введение и постановка задачи

Важность отображения с дискретным временем обусловлена уникальными свойствами, практической применимостью и способностью моделировать сложное поведение простыми методами, например с помощью перехода от непрерывных систем к дискретным с помощью секущих Пуанкаре. Также они являются простейшими системами, где возникает динамический хаос.

Под отображением с дискретным временем подразумевают однозначные отображения $x_{n+1} = f(x_n)$, $x_i \in \mathbb{R}^N$. Неподвижной точкой отображения называют состояние x^* , такое что $x^* = f(x^*)$. Устойчивость неподвижной точки в одномерном случае определяют с помощью значения модуля мультипликатора $\mu = f'(x^*)$. Так при $|\mu| < 1$ неподвижная точка устойчива, при $|\mu| > 1$ неустойчива, а при $|\mu| = 1$ требуются дополнительные исследования.

Неподвижной точкой отображения порядка p называют состояние x^* , такое что $x^* = F(x^*, p)$, где $F(x^*, p)$ – задаёт последовательное применение функции $f(x)$ p раз. Устойчивость неподвижной точки порядка p определяется аналогично по значению $|F^{(p)}(x^*)| = |\prod_{k=1}^p f'(x^*)|$.

Для аperiodических траекторий для оценки устойчивости используется показатель Ляпунова: $\lambda = \ln(\langle \mu \rangle) = \lim_{M \rightarrow +\infty} (\frac{1}{M} \sum_{m=1}^M \ln(|f'(x_m)|))$. Если $\lambda < 0$, то траектории в среднем сходятся, при $\lambda > 0$ в среднем расходятся, а при $\lambda = 0$, требуются дополнительные исследования, но обычно при $\lambda = 0$ происходят бифуркационные переходы.

Динамический хаос — фундаментальное явление, при котором системы демонстрируют непредсказуемое, непериодическое поведение с чувствительностью к начальным условиям. Для дискретных отображений его можно характеризовать асимптотической неустойчивостью ($\lambda > 0$), наличием аттрактора, наличием бесконечных множеств аperiodический и квазислучайных траекторий.

Простейшим примером системы с динамическим хаосом является логистическое отображение:

$$x_{n+1} = f(x_n, r) = rx_n(1 - x_n), x_i \in [0, 1] \quad (1)$$

Оно имеет только один параметр r . Предлагается исследовать поведение данной системы в зависимость от данного параметра. Для этого необходимо:

- Построить диаграмму неподвижных точек x^* в зависимости от параметра r
- Построить график показателя Ляпунова λ в зависимости от параметра r
- На основе полученных данных оценить изменения в поведении системы с ростом параметра r

2. Методика проведения и результаты экспериментов

Программная реализация выполнялась на языке python. Полный код доступен по ссылке: https://github.com/Faert/NLD_Lab.

Для построения диаграммы зависимости состояний равновесия x^* в зависимости от параметра r используется функция `states`, которая просчитывает N итераций отображения, которое задаётся функцией `func` и строит диаграмму на основе последних M элементах последовательности. Исследование по параметру r происходит в отрезке $[start, end]$ с шагом `step`.

```
1 def states(func, start, end, step, N, M):
2     for r in np.arange(start, end, step):
3         y=[x0]
4         for i in range(N):
5             y.append(func(y[i], r))
6         n = len(y)
7         m = min(len(y), M)
8         y=y[n-m:n]
9         x=[r ]*m
10        plt.plot(x, y, color='black', linestyle='', marker='.', markersize =0.75)
11    plt.grid(True)
12    plt.xlabel('Параметр r')
13    plt.ylabel('x*')
14    plt.show()
```

Для построения графика показателя Ляпунова λ в зависимости от параметра r используется функция `la_`, которая ввиду невозможности точного подсчёта предела уточняет результат пока изменение показателя Ляпунова $|\Delta\lambda| > 10^{-6}$ или количество итераций не превышает N . Расчет происходит на основе производной исходной функции `df`, а исследование по параметру r происходит в отрезке $[start, end]$ с шагом `step`.

```
1 def la_(df, start, end, step, N):
2     ll = []
3     rl = []
4     for r in np.arange(start, end, step):
5         la = 0
6         dla = 1
7         x = x0
8         k = 1
9         while(abs(dla) > 1e-6 and k < N):
10            dla = np.log(abs(df(x, r)))
11            x = f(x, r)
12            if(x > 1 or x < 0):
13                break
14            k+=1
15            la+=dla
16            rl.append(r)
17            ll.append(la/k)
18            if(abs(ll[-1]) < 1e-2):
19                print(r)
20    plt.plot(rl, ll)
21    plt.xlabel('Параметр r')
22    plt.ylabel('Показатель Ляпунова λ')
23    plt.grid(True)
24    plt.show()
```

Для всех последующих экспериментов зафиксируем параметры $N = 8192$, $M = 64$, $step = 10^{-3}$ и начальную точку $x_0 = 0.77$. Также в ходе экспериментов было замечено, что при $r > 4$ для любых начальных условий последовательность становится неограниченной, осциллируя с возрастающей амплитудой, поэтому будут рассмотрены только $r \in [0, 4]$.

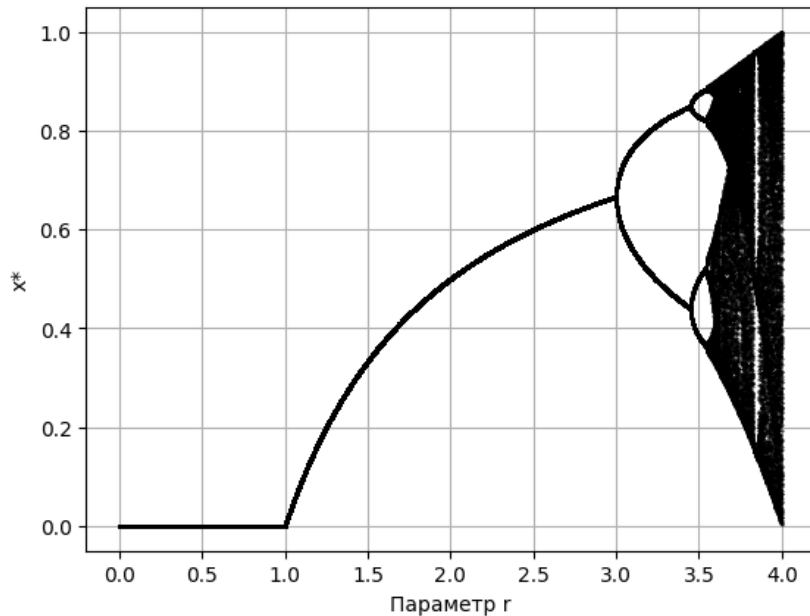


Рисунок 1. Диаграмма зависимости состояний равновесия x^* в зависимости от параметра $r \in [0, 4]$

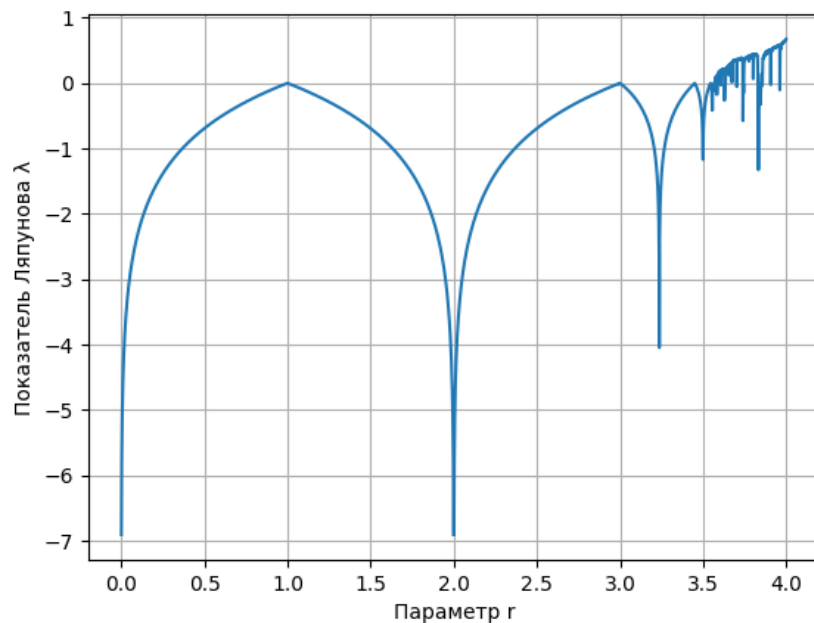


Рисунок 2. График показателя Ляпунова λ в зависимости от параметра $r \in [0, 4]$

На основе данных графиков можно явно выделить три участка:

- $r \in [0, 1)$: Единственная устойчивая неподвижная точка $x^* = 0$.
- $r \in [1, 3)$: При $r = 1$, происходит бифуркация, что также видно по показателю Ляпунова $\lambda = 0$. Неподвижная точка $x^* = 0$ становится

неустойчивой, но появляется новая устойчивая неподвижная точка $x^* = 1 - \frac{1}{r}$.

- $r \in [3, 3.45)$: При $r = 3$, происходит бифуркация удвоения, что также видно по показателю Ляпунова $\lambda = 0$. Неподвижная точка $x^* = 1 - \frac{1}{r}$ теряет устойчивость. Возникает устойчивый цикл периода 2.

Для дальнейшего исследования отмасштабируем графики на $r \in [3.44, 4]$.

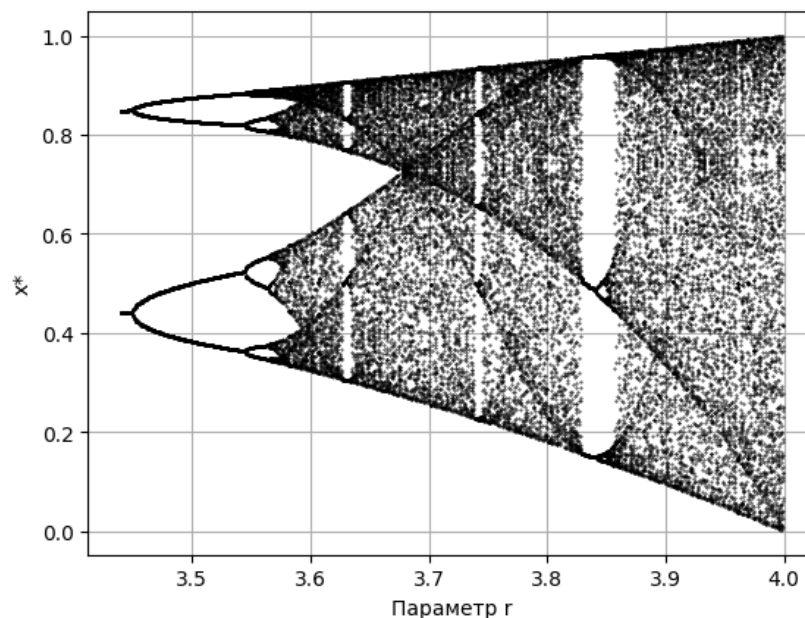


Рисунок 3. Диаграмма зависимости состояний равновесия x^* в зависимости от параметра $r \in [3.44, 4]$

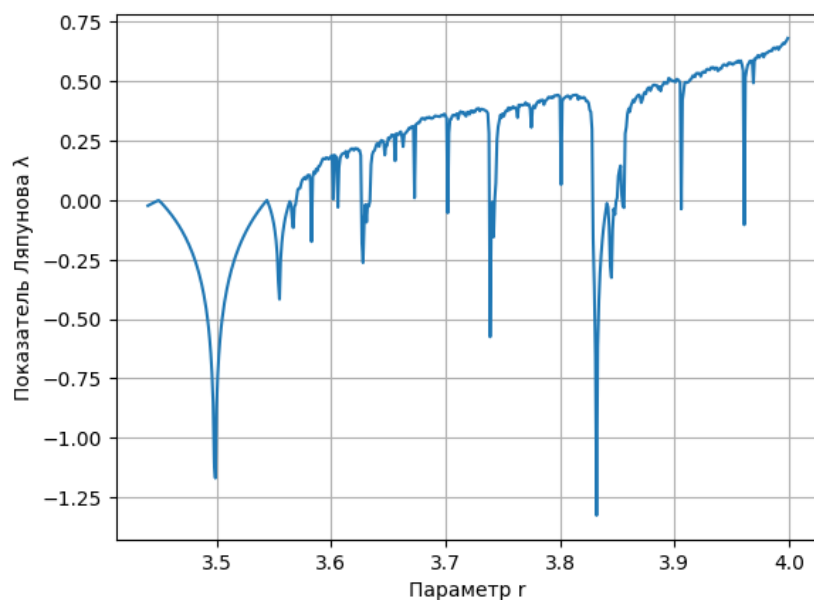


Рисунок 4. График показателя Ляпунова λ в зависимости от параметра $r \in [3.44, 4]$

- При $r \approx 3.45$ Происходит вторая бифуркация удвоения периода. Цикл периода 2 теряет устойчивость. Возникает устойчивый цикл периода 4.
- При $r \approx 3.54$ Происходит третья бифуркация удвоения периода и возникает цикл периода 8.

- Далее происходит серия удвоений периода. При дальнейшем увеличении r последовательно возникают циклы периода 16, 32, 64 и так далее. Интервалы значений r , где существуют устойчивые циклы определенного периода, становятся все меньше, а точки бифуркации стремятся к предельному $r_\infty \approx 3.56$.
- После $r_\infty \approx 3.56$ наступает динамический хаос с аттрактором $[0, 1]$, что видно из графика показателя Ляпунова, так как его значение становится больше нуля.

Для дальнейшего исследования отмасштабируем графики на $r \in [3.56, 4]$ и возьмём шаг равный 10^{-5} .

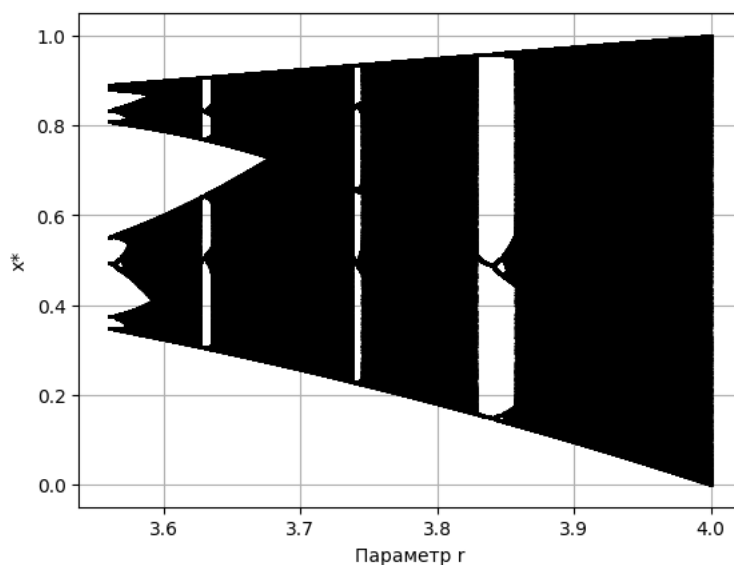


Рисунок 5. Диаграмма зависимости состояний равновесия x^* в зависимости от параметра $r \in [3.56, 4]$

На основе данной диаграммы видно, что среди хаоса есть окна периодичности. Попробуем найти окна с периодами 3 и 5 для этого ещё уменьшим масштаб.

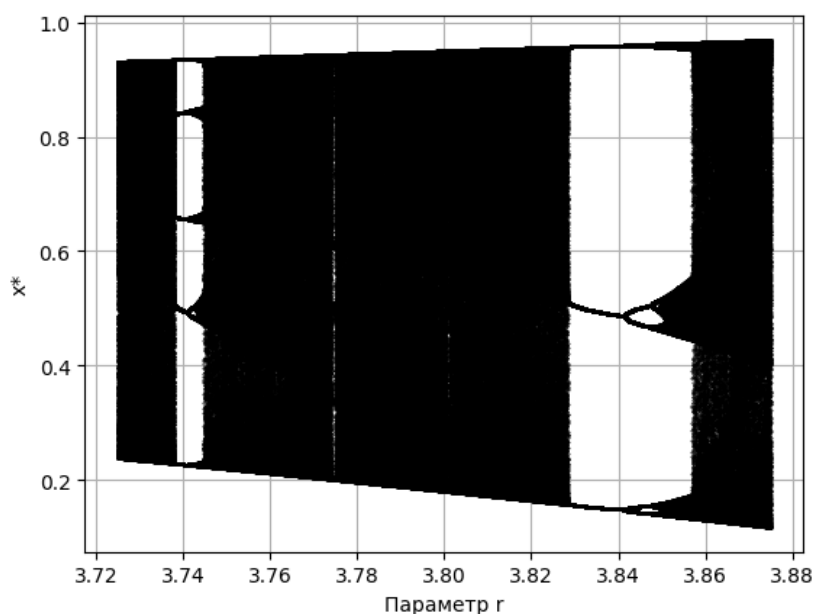


Рисунок 6. Диаграмма зависимости состояний равновесия x^* в зависимости от параметра $r \in [3.725, 3.875]$

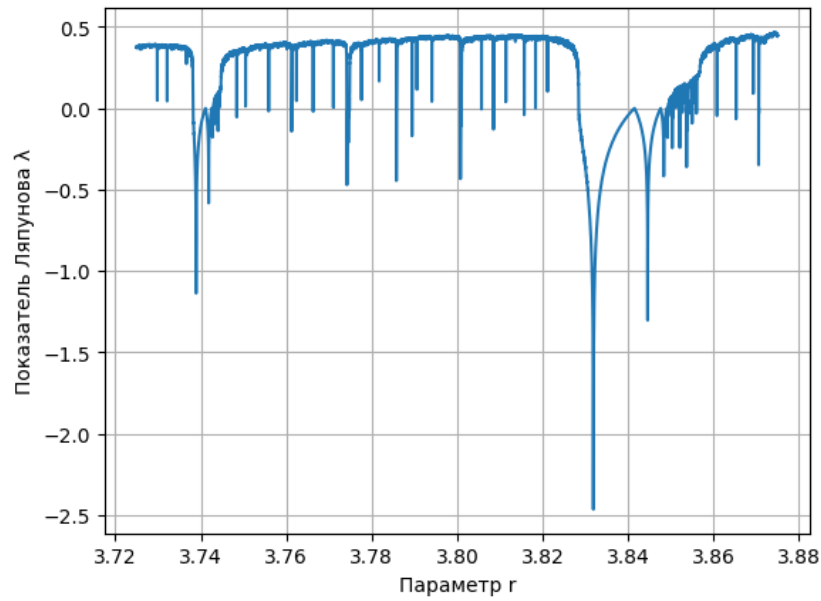


Рисунок 7. График показателя Ляпунова λ в зависимости от параметра $r \in [3.725, 3.875]$

Исходя из графиков окно с периодом 5 начинается при $r \approx 3.74$, а окно с периодом 3 при $r \approx 3.83$, что также подтверждается равенством показателя Ляпунова нулю при данных значениях. Также можно заметить, что на графиках присутствуют интервалы с другими периодами.

3. Заключение

В рамках данной работы были построены диаграммы зависимости состояний равновесия x^* и показателя Ляпунова λ в зависимости от параметра r . На основе полученных данных были сделаны выводы о изменении в поведении системы в зависимости от параметра r . Интервалом с наиболее интересным поведением является $r \in [3.56, 4]$, где наблюдается динамический хаос с окнами периодичности.